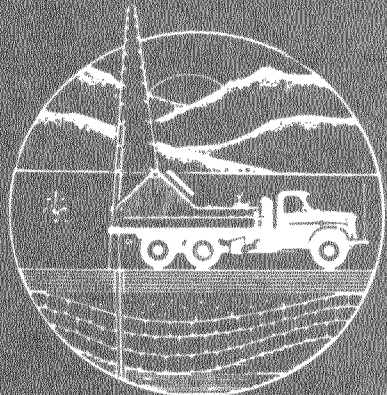


МИНИСТЕРСТВО ГЕОЛОГИИ СССР

ГЛАВНОЕ КООРДИНАЦИОННО-ГЕОЛОГИЧЕСКОЕ УПРАВЛЕНИЕ
«УЗБЕКГЕОЛОГИЯ»

Среднеазиатский
научно-исследовательский
институт геологии
и минерального сырья

(САИГИМС)



ГЕОФИЗИЧЕСКИЕ ИССЛЕДОВАНИЯ
В ГИДРОГЕОЛОГИИ, ИНЖЕНЕРНОЙ
ГЕОЛОГИИ

№ 2

УДК 550.8: [556.3+624.131.1]

Геофизические исследования в гидрогеологии и инженерной геологии / Тр. ГИДРОИНГЕО. - Ташкент: САИГИМС, 1991.

В сборнике представлены материалы Всесоюзного научно-технического семинара "Использование геофизических методов для решения геоэкологических, инженерно-геологических и гидрогеологических задач". Рассматриваются теоретические, методические и практические вопросы использования геофизических методов в изучении геоэкологии. Приводятся результаты наземных и скважинных исследований. Особое внимание уделено методике и технологиям комплексных геофизических исследований по выявлению и оценке загрязнения подземных вод, при изучении опасных геологических процессов, геолого-экологической съемке территории. Обсуждаются вопросы эффективности геофизических исследований в различных природных условиях СССР.

Для гидрогеологов, геофизиков, инженеров-геологов.

Главный редактор
канд. г.-м. наук Р.А. НИЗОВ
Ответственный редактор выпуска:
канд. г.-м. наук Ш.Х. АБДУЛАЕВ

ISBN 5-7173-0332-



Научно-исследовательский институт гидрогеологии и инженерной геологии (ГИДРОИНГЕО), 1991 г.

составе, физико-химических и термодинамических параметрах ВЧР, пространственно-временной структуре поля электромагнитных полей, а также положении оператора (особенно при измерениях на разных временах).

Разумеется, при таком подходе любое из образующих систему звеньев можно интерпретировать как подсистему с распределенными или сосредоточенными параметрами. Анализ таких подсистем может представлять самостоятельный интерес и проводиться как на основе системного подхода, так и традиционными методами.

Система "технические средства НЭМЗ - ВЧР" исследована в ИИИ средствами реализованного на персональной ЭРМ имитационного моделирования. При этом в относительно простых ситуациях, число которых ограничено, задачу удалось решить непосредственно во временной области. В общем случае решение сначала отыскивалось в частотной области, а затем трансформировалось во временную.

Системный подход в сочетании с аппаратом имитационного моделирования позволил объяснить причины возникновения аномальных переходных характеристик и наблюдавшую в ряде случаев низкую воспроизводимость результатов НЭМЗ, уточнить структуру первичного поля, оптимизировать методику полевых наблюдений, предложить оригинальные способы измерения электромагнитных параметров зондируемых сред, выяснить принципиальные возможности НЭМЗ при изучении ВЧР и получить новую геологическую информацию.

УДК 550.837.31

И.Н.МОДИН, А.Г.ЯКОВЛЕВ, В.А.ШЕНИЧ, К.Л.ОДИНЦОВ,
Ф.В.ЛОБЧИКОВА, Т.Н.СТЕПАНОВА (МГУ)

ВЛИЯНИЕ ПРИПОВЕРХНОСТИХ НЕОДНОРОДНОСТЕЙ НА РЕЗУЛЬТАТЫ ЭЛЕКТРИЧЕСКИХ ЗОНДИРОВАНИЙ И СПОСОБЫ ЕГО ПОДАВЛЕНИЯ

Разработка программ моделирования электрического поля в двумерных и трехмернонеоднородных средах [1-3] позволила по-новому взглянуть на проблему учета искажений кривых ВЭЗ. Наибольший вклад в решение дачной задачи внесли В.В.Кусков [4] и А.Г.Яковлев [5]. В настоящее время благодаря численному моделированию и анализу полевых данных все имеющиеся сведения укладываются в

единую теорию искажений ВЭЗ. Под искажением кривой ВЭЗ будем понимать ее отклонение от локальной нормальной кривой в данной точке, которая рассчитывается для одномерной слоистой модели с параметрами локального разреза под точкой наблюдения [6].

Особое место в теории искажений занимает проблема влияния приповерхностных неоднородностей. В то время как сравнительно крупные детали глубинных частей геоэлектрического разреза на кривых зондирования могут проявляться довольно слабо, небольшие по размерам неоднородности вызывают наиболее сильные изменения на кривых.

S-эффект и смещение кривых ВЭЗ по оси сопротивлений. Рассмотрим два случая. Пусть фоновый слоистый разрез имеет соответственно мощности первого и второго слоев (5 и 15 м). Сопротивления слоев сверху вниз - 5, 100, 6 Ом·м (рис. I, б). В первом

случае верхний слой осложнен неоднородностью типа гората, верхняя кромка которого расположена на глубине 1 м, ширина гората 5 м, а сопротивление равно сопротивлению второго слоя - 100 Ом·м (рис. I, в). Во втором случае в верхнем слое имеется выходящая на поверхность высокомоменная вставка шириной 5 м с удельным сопротив-

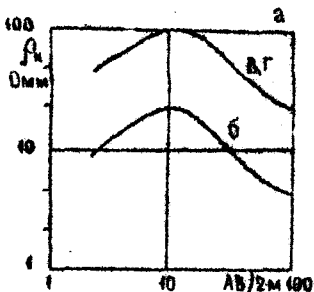
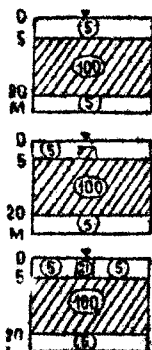


Рис. I. Смещение кривых ВЭЗ по оси сопротивлений над приповерхностными неоднородностями: а - кривые ВЭЗ; модель: б - горизонтально-слоистой среды, в - неоднородности в виде гората, в - высокомоменной вставки.

лением 21 Ом·м (рис. I, г). Над центрами неоднородностей производятся электрические зондирования, расчетные по программе IE2RL. Кривые ВЭЗ представлены на рис. I, а. Кривые над неоднородностями по форме совпадают с кривой над слоистым вмещающим



разрезом и смещены относительно нее вверх примерно на четыре порядка. Это явление в электроразведке получило название S -эффекта [6].

Физическое объяснение S -эффекта заключается в следующем. Для каждого разноса АВ в верхнем слое формируется распределение плотности тока, примерно соответствующее распределению тока в слоистом разрезе. Когда на его пути встречается неоднородность, то в случае горота (рис. I, в) примерно 80% тока огибает его сверху. Таким образом, плотность тока над горотом возрастает на всех разносах примерно в четыре раза. В другом случае (рис. I, г) плотность тока не будет меняться, но за счет увеличения сопротивления ветвики значение электрического поля возрастет также в четыре раза.

Одним из способов подавления S -эффекта является приведение крик их ВЭЗ к единому уровню. Такая процедура называется нормализацией кривых кажущегося сопротивления. На рис. 2 приведены результаты ВЭЗ на городище Красное. Расстояние между точками

зондирования
I-2 м. При
максимальном
разносе АО
30 м смещение
центра МН на
1 м не должно
значительно
изменять
структуру
электрическо-
го поля на
глубине, и
правые ветви
кривых ВЭЗ
должны быть
идентичными.

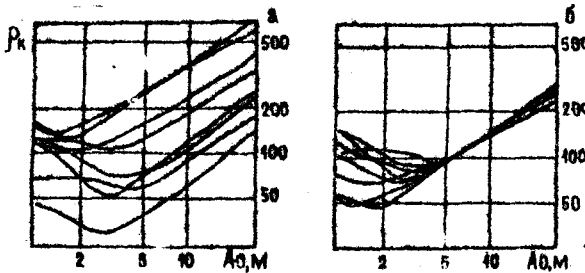


Рис. 2. Нормализация кривых ВЭЗ искаженных S -эффектом. Электрические зондирования выполнены на городище Красное Тульской области в 1989 г.: а - полевые кривые ρ_k ; б - нормализованные кривые ρ_k .

Поэтому в этом случае нормализацию проводили именно по правым ветвям кривых.

Расхождение ветвей ВЭЗ для разных приемных линий МН. Увели-

чение длины линии MN по мере увеличения разстояния A , сопровождающее смещением ветвей кривых ВЭЗ относительно друг друга. Для горизонтально-слоистых сред это смещение, как правило, не превышает 3-5%, и положение ветвей подчиняется строгим правилам [7]. И только на нисходящих крутых ветвях расхождение сегментов кривой может достигать 10-20%. Появление на практических кривых значительных "ворот", превышающих 30-50%, связано с влиянием горизонтальных приповерхностных неоднородностей, резко изменяющих электрическое поле при переходе через вертикальные границы.

Проблема устранения "ворот" до сих пор является дискуссионной темой среди электроразведчиков. Здесь необходимо сделать несколько замечаний. Во-первых, мы не рекомендуем устранять большие "ворота", заведомо невозможные для слоистой среды, с помощью приемов, используемых в случае горизонтально-слоистых сред (визуальное сглаживание разрыва между сегментами без их смещения, трансформация кривой к идеальной установке Шимберже [8] или решение обратной задачи, учитывающей наличие разных линий MN [9]). Во-вторых, последовательное приведение сегментов кривой ВЭЗ смещением по оси сопротивлений приводит к кривой, которая по форме близка к локально-нормальной кривой вне неоднородности. Наилучший эффект достигается в случае приведения к сегменту с наибольшей длиной MN . Когда смещение сегментов за счет слоистости разреза сравнимо с влиянием приповерхностных неоднородностей, необходимо сначала перенести ветви о малыми MN к положению, характерному для слоистого разреза. А затем интерпретировать кривые в рамках одномерных подходов.

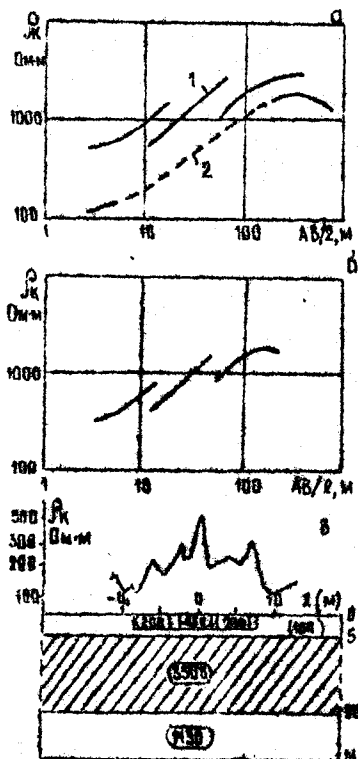
На рис. 3 приведены материалы, полученные Д.А.Хачатряном в Арагатской долине [10], и результаты численного моделирования ВЭЗ по программе IE2RI. Расчеты подтвердили модель геоэлектрического разреза, предложенную Хачатряном. Локально-нормальная кривая вмещающего разреза соответствует правому сегменту полевой кривой ($MN = 75$), обладающей максимальным осредняющим действием.

Искажения кривых ВЭЗ, связанные с положением питающего электрода. Наиболее сильное искажающее воздействие оказывают неоднородности вблизи приемных электродов MN . Однако уже первые рас-

четы ВЭЗ для горизонтально-неоднородных сред показали, что значительные возмущения на кривой катущегося сопротивления связаны с положением питавшего электрода. При этом, если приемные

электроды неподвижны, а токовые передвигаются, то при переходе АВ через неоднородность форма кривой ВЭЗ меняется. Эти изменения могут быть резкими, если границы выходят на поверхность земли, или плавными, если они заглублены. В первом случае резкий выброс легко устранить путем сглаживания кривой. Во втором случае искажения кривых ВЭЗ могут быть неправильно истолкованы как геоэлектрические слои. Если в этих условиях зондирования выполнены по густой сети, формальная интерпретация ВЭЗ может привести к неправильным построениям. Когда зондирования выполняются до густой сетке пикетов, удается отследить аномалии, связанные с питавшими электродами. Они проявляются на разносах АВ, разных расстоянию до неоднородности.

Рис. 3. Расхождение ветвей ВЭЗ для разных приемных линий MN: а - полевая кривая ВЭЗ; 1 - кривая ρ_k для разносов MN 1,6, 24 и 75 м, 2 - кривая ρ_k , соответствующая имеющему разрезу; б - теоретическая кривая ВЭЗ, рассчитанная по программе IE2RL для разносов MN 1,6 и 24 м; в - модель геоэлектрического разреза и полевые результаты электроинтерференции с малым разносом АВ.



На рис. 4 приведены результаты численного моделирования установки зондирования с неподвижным питавшим электродом A_{fix} . Точка записи относится к положению токового электрода. Правее А расположена приповерхностная неоднородность, проявляющаяся в интервале разносов АВ от 20 до 60 м в виде максимумов

мума. После сглаживания кривой видно, что она в целом опущена ниже локально нормальной кривой ВЭЗ. Это объясняется глобальным распределением тока в первом слое геоэлектрического разреза. Высокоомная неоднородность правее электрода А отталкивает ток в противоположную сторону. Поэтому вся кривая ВЭЗ опускается вниз.

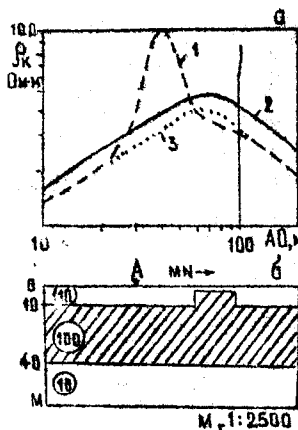


Рис. 4. Смещение кривых ВЭЗ по оси сопротивлений, связанное с положением питающего электрода, в присутствии приповерхностной неоднородности для установки А₁γ₁МН: а - кривые R_k ; 1 - реальная кривая R_k , осложненная S -эффектом в интервале разносов $A0=30+60$ м, 2 - локально-нормальная кривая R_k для точки, где расположен электрод А, 3 - сглаженная кривая R_k с учетом S -эффекта; б - модель геоэлектрического разреза.

Питатели и приемники электродов. Только таким образом на стадии обработки и интерпретации можно правильно учесть искажения кривых ВЭЗ и построить геоэлектрический разрез.

Этот тип искажений устраивается в два этапа. Сначала нормализуются кривые ВЭЗ по S -эффекту с точкой записи в центре МН, а затем кривые с точкой записи, относящейся к электроду А. Это позволяет существенно подавить искажения кривых ВЭЗ от приповерхностных неоднородностей вблизи МН и питателей электродов А. При этом предполагается, что зондирования выполняются в варианте с трехэлектродной установкой с густой сеткой разносов А0.

Верхняя часть геологического разреза имеет чрезвычайно сложное строение. При решении тонких инженерно-геологических задач с помощью электроразведки необходимо правильно учитывать искажающее влияние приповерхностных неоднородностей, способные сильно подавлять полезную информацию с геоэлектрическом разрезе. Для компенсации этого подавления необходимо увеличивать плотность полевых наблюдений. Особенно важно получить представление об изменчивости поля в горизонтальном направлении за счет дополнительных перестановок питателей и приемных электродов. Только таким образом на стадии обработки и интерпретации можно правильно учесть искажения кривых ВЭЗ и построить геоэлектрический разрез.

СПИСОК ЛИТЕРАТУРЫ

1. Ермохин К.М. Расчет полей постоянного тока в трехмерных неоднородных средах - Деп. ВИНИТИ, № 6732-В85.
2. Кусков В.В. Численное моделирование вертикальных электрических зондирований в двумерно-неоднородных средах // Вест. Моск. ун-та. Сер. геол. 1985, № 1. - С.82-88.
3. Рогова С.А., Яковлев А.Г., Модян И.Н., Шевнин В.А. Алгоритм моделирования поля точечного источника постоянного тока вблизи двумерной неоднородности. - Деп. ВИНИТИ, № 853-В88.
4. Кусков Г.В. К вопросу об искажении кривых ВЭЗ в условиях изогоризонтальных границ раздела // Вест. Моск. ун-та. Сер. геол. 1979, № 5. - С.68-72.
5. Яковлев А.Г. Влияние геоэлектрических неоднородностей на результаты электромагнитных зондирований. Автореф. дис.... канд. геол.-мин. наук. М., 1989. - 17 с.
6. Жданов М.С. Электроразведка. - М.: Недра, 1986. - 316 с.
7. Колесников В.П. Обработка и интерпретация результатов вертикального электрического зондирования с помощью ЭВМ. - М.: Недра, 1981. - 141 с.
8. Куфуд О. Зондирования методом сопротивлений. - М., 1984. - 270 с.
9. Рыков А.А., Каринская И.Д. Программы решения прямой и обратной задач ВЭЗ и ВЭЗ-ВИ для ЭВМ серии ЕС. - М.: ВЭЗИ. - 134 с.
10. Хачатрян Д.А. Некоторые особенности первого геоэлектрического горизонта при проведении работ методом сопротивления в условиях Армении // Уч. зап. Ереванского гос. ун-та. Естеств. науки. Геология, 1981, № 2. - С.124-131.

УДК 550.34.01

В.А.ЯКУБОВ, О.Л.ДРОЗДОВА, И.Ю.НИКУС, В.Ю.ТИМИН (Гидропроект)
ПАКЕТ ПРОГРАММ "ИНЖЕЙС" ДЛЯ ОБРАБОТКИ ДАННЫХ СЕЙСМОРАЗВЕДКИ
МПВ НА ЭВМ

Пакет программ "Инжейс" разрабатывается в Отделе геофизических изысканий и исследований института Гидропроект (Москва). Он предназначен для эксплуатации на ПММ IBM-PC/AT с графадапте-